

京都大学防災研究所 正員 工修 村本嘉雄
京都大学大学院 学生員 ○井上高之

本報では、弯曲部の水理学的特性についての研究の一環として、球型ビト一管による流向測定を行ひ、弯曲部水流の内部構造についての詳細な理験把握を行ひ、解析的取扱いの方向を決定するための実験的吟味によつてしたるべくである。

1. 流向測定法と球型ビト一管

円筒座標系を用ひ、主流の方向を θ 軸、横断方向を ϕ 軸、鉛直上方を ψ 軸とした。速度ベクトル u の大きさ等は、 $u = \sqrt{U^2 + V^2 + W^2}$ で表され、各成分は $U = U \cos \theta$, $V = U \sin \theta \cos \phi$, $W = U \sin \theta \sin \phi$ となる。また、 U, V, W の成分は $U = U \cos \theta$, $V = U \sin \theta \cos \phi$, $W = U \sin \theta \sin \phi$ となる。

$$U = g \cos \theta \cos \phi, \quad V = g \cos \theta \sin \phi, \quad W = g \sin \theta \quad (1)$$

この式で g, θ, ϕ を求め方法を述べる。Shukry の球型ビト一管がある、本研究でも同一型の球型ビト一管を製作した。球部には図 1(a) に示すように、いずれも 5 個の孔がある、各孔は半径 r_0 で、中心から r_0 の距離である。孔の θ と ϕ の位置は $\theta = 0^\circ, 90^\circ, 180^\circ, 270^\circ$ である。孔の θ と ϕ の偏角を h_u と測定すれば、 $h_u = h_u(\theta, \phi)$ である。偏角 h_u を測定すれば、 θ, ϕ が求まる。

a. Shukry の球型ビト一管 Shukry は図 1(a) のよき球型ビト一管を製作し、下の基部の軸回転による h_u を求める。図 1(b) は、球部の側面を示す。平行流と偏角 h_u と球面上の差 m の関係を示す。偏角 h_u は $h_u = \frac{p_0}{\rho g} + \frac{u^2}{2g} (1 - \frac{g}{4} \sin^2 m) = \frac{p_0}{\rho g} + k_m \cdot \frac{u^2}{2g}$ で表される。此處の平行流の中心の接觸子 y 、 $k_m = \frac{k_{yy} - k_{zz}}{k_{yy} + k_{zz}} = \frac{h_{yy} - h_{zz}}{h_{yy} + h_{zz}}$ と計算し、弯曲部での測定は $k_m \approx 0.5$ である。

b. 球型ビト一管 (2) 図 1(c) に示すように、ビト一管は Shukry の同型のビト一管の支柱棒を斜め面に回転し、支持子 y を用いて構造化されたものである。支持棒は本体の中心線上に位置する球部上流面の左右両部に球部の基部の影響を無視して示すことを試みた。このことは、水中の基部の量を変化させることで確認された。

c. 球型ビト一管 (3) 球型ビト一管 (2) の欠点を克服するため、図 1(d) のよき球部下端の構造を改めた。この場合の構造は図 1(e) に示すように、 h_u の測定は球部下端の影響をほとんど受けないものである。

2. 弯曲上部部の流れと θ の分布

閉水路弯曲部の二次流れの構造は、徐々に半周方向の速度成分 V の卓越する上部と下部である。前報⁽¹⁾ にて考察した、上部部は大半の主流と $\psi = 90^\circ$ の二次流れの流速分布は

$$V = C_1/r \quad (2) \quad U = \frac{C_2}{r} + \frac{2i}{3C_1} r^2 \quad (3)$$

である。ここで、 i は弯曲口の逆流、 C_1, C_2 は積分定数である。

たがいに、(1) 我々の、(2) 分布

$$\theta = \tan^{-1} \frac{V}{U} = \tan^{-1} \frac{3C_1^2}{2ir^3 + 3rC_2} \quad (4)$$

である。また、 C_1, C_2 は(3) と(2)、 r は断面重心半径水深が水路中央の水深 r と一致する。したがって(4)式より(2)式を導く。

$$C_1 C_2 = \frac{1}{3} g r^3 d \sqrt{\left(d^2 + \frac{1}{4}\right)\left(d^2 - \frac{1}{4}\right)} \quad (5)$$

ここで、 d は水路中、 $d = r_c / b$ で r_c は水路中心の曲率半径である。

3. 実験結果と考察

実験水路は、幅50 cm, 高さ30 cm の長方形断面の274 m 一ノリ水路式、曲率半径150 cm, 傾角180° の弯曲部が挿入されたものである。弯曲部の上下端は直線部の長さはともに10 m である。また、弯曲部の曲率半径は、直線部の曲率半径と比較して3倍以上である。 $\theta = 120^\circ \sim 180^\circ$ の範囲で、(4)式との比較を行った。 $g = 980 \text{ cm/sec}^2$, $i = 0.002$, $B = 50 \text{ cm}$, $d = 3$, および(5)式の直線化($\theta = 10^\circ/\text{sec}$)を用いて(3), (4)式の C_1, C_2 を求めると、150°弯曲部の $C_1 \approx 6.0$, $C_2 \approx 3500$ となる。一方、直線部の曲率半径と比較して直線部の曲率半径が直線部の曲率半径の約3倍である。外壁近傍の水頭は減少し、中央部の水頭が直線部の水頭より高くなる。計算結果は直線部の水頭より低くなる。

以上、球型ビト管の特性と弯曲部における流束測定の一例を示す。図2のビト管は、直線部を直角の製作に難易があるため、直線部を改良するところを、直線部の測定装置を直線部に取付けて、直線部の流束を直接測定する方法である。二の結果は、直線部の流束を直接測定する方法である。

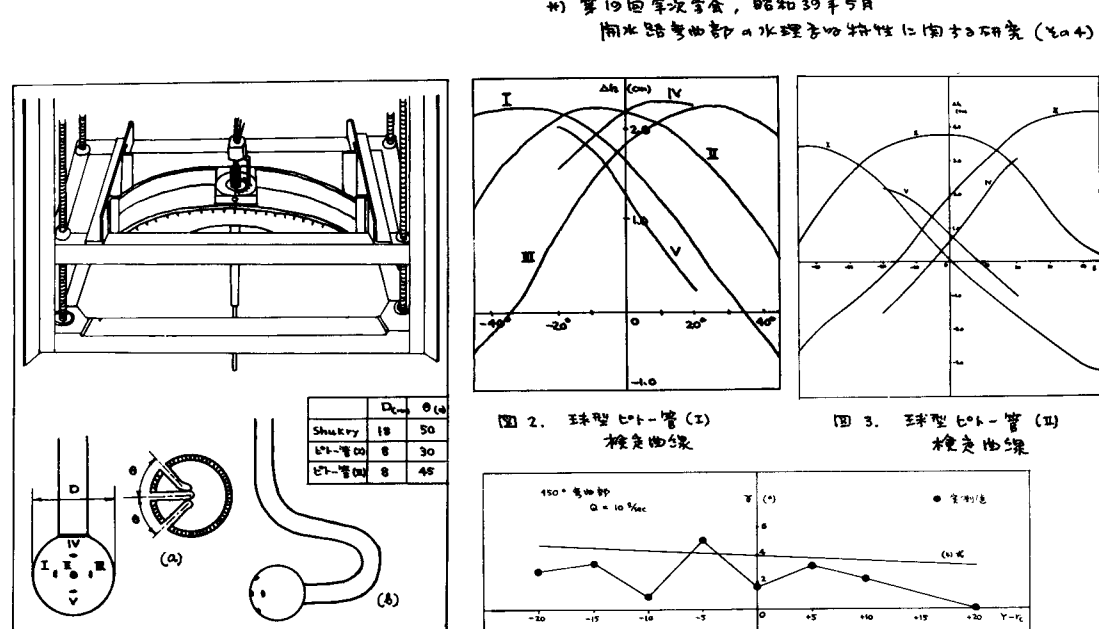


図1. 球型ビト管の比較と
ビト管(I), (II)の実験結果

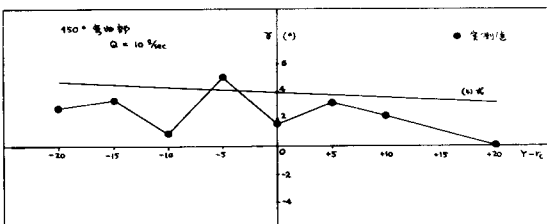


図4. 150°弯曲部のθ分布の比較